

# REGIONE SICILIA

Città Metropolitana di Palermo

COMUNE DI MONREALE



01	EMISSIONE PER ENTI ESTERNI	17/02/23	BAIARDO G.	SIGNORELLO A.	NASTASI A.
00	EMISSIONE PER COMMENTI	31/01/23	BAIARDO G.	SIGNORELLO A.	NASTASI A.
REV.	DESCRIZIONE	DATA	REDATTO	CONTROL.	APPROV.

Committente:

## SICILY MON P1 DEV SRL

Sede legale in Piazza Walther Von Vogelweide 22, CAP 39100 Bolzano (BZ)  
Partita I.V.A. 03149330213 - PEC: sicily.mon.p1.dev@legalmail.it

Società di Progettazione:

Ingegneria & Innovazione



Via Jonica, 16 - Loc. Belvedere 96100 Siracusa (SR) Tel. 0931.1663409  
Web: [www.antexgroup.it](http://www.antexgroup.it) e-mail: [info@antexgroup.it](mailto:info@antexgroup.it)

Progetto:

IMPIANTO AGRIVOLTAICO SICILY MON P1

Progettista/Resp. Tecnico:

Dott. Ing. Antonino Signorello  
Ordine degli Ingegneri  
della Provincia di Catania  
n° 6105 sez. A

Tavola:

RELAZIONE TECNICA CEM IMPIANTO FOTOVOLTAICO

Scala:

-:-

Nome DIS/FILE:

C22042S05-PD-RT-23-01

Allegato:

1/1

F.to:

A4

Livello:

DEFINITIVO

Il presente documento è di proprietà della ANTEX GROUP srl.

È vietato la comunicazione a terzi o la riproduzione senza il permesso scritto della suddetta.

La società tutela i propri diritti a rigore di Legge.



SICILY MON P1 DEV S.R.L.	IMPIANTO AGRIVOLTAICO SICILY MON P1 <b>RELAZIONE TECNICA CEM IMPIANTO          FOTOVOLTAICO</b>	 Ingegneria & Innovazione	
		17/02/2023	REV: 01

## INDICE

1. PREMESSA .....	3
2. SCOPO .....	3
3. NORMA DI RIFERIMENTO .....	4
4. VALUTAZIONE DEL RISCHIO DI ESPOSIZIONE AI CEM E DPA .....	5
4.1. IDENTIFICAZIONE DELLE SORGENTI CEM.....	6
4.2. OBIETTIVI DI PROTEZIONE DELLA POPOLAZIONE DALL'ESPOSIZIONE AI CEM.....	7
5. VALUTAZIONE DEI CEI GENERATI DALLE SORGENTI INDIVIDUATE.....	9
5.1. CAMPO ELETTROMAGNETICO GENERATO DA LINEE MT E AT INTERRATE.....	9
5.1.1. CEM GENERATO DA TRINCEE CON UN CIRCUITO (1C).....	11
5.1.2. CEM GENERATO DA TRINCEE CON PIU' DI UN CIRCUITO .....	14
5.2. CAMPO ELETTROMAGNETICO GENERATO DA POWER STATION .....	21
5.3. CAMPO ELETTROMAGNETICO GENERATO DAL TRASFORMATORE AT/MT.....	22
5.4. CAMPO ELETTROMAGNETICO GENERATO DA CABINE ELETTRICHE .....	23
6. CONCLUSIONI.....	24

SICILY MON P1 DEV S.R.L.	IMPIANTO AGRIVOLTAICO SICILY MON P1 <b>RELAZIONE TECNICA CEM IMPIANTO          FOTOVOLTAICO</b>	 Ingegneria & Innovazione	
		17/02/2023	REV: 01

## 1. PREMESSA

Per conto della società proponente, Sicily MON P1 DEV S.r.l., la società Antex Group S.r.l. ha redatto il progetto definitivo relativo alla realizzazione di un impianto di produzione di energia elettrica da fonte solare, denominato **Impianto Agrivoltaico "Sicily MON P1"** da realizzarsi nel territorio del Comune di Monreale, appartenente alla Città Metropolitana di Palermo. Il progetto prevede l'installazione di n. 123.292 moduli fotovoltaici da 500 Wp ciascuno, su strutture ad inseguimento. Tutta l'energia elettrica prodotta verrà ceduta alla rete elettrica nazionale tramite la posa di un cavidotto interrato su strade esistenti e la realizzazione di una nuova cabina utente per la consegna collegata in antenna a 36 kV con la sezione a 36 kV di una nuova stazione elettrica di trasformazione (SE) in doppia sbarra a 220/36 kV della RTN, da collegare in entra – esce sulla linea a 220 kV della RTN "Partinico – Ciminna".

Le attività di progettazione definitiva e di studio di impatto ambientale sono state sviluppate dalla società di ingegneria Antex Group Srl.

Antex Group Srl è una società che fornisce servizi globali di consulenza e management ad Aziende private ed Enti pubblici che intendono realizzare opere ed investimenti su scala nazionale ed internazionale.

È costituita da selezionati e qualificati professionisti uniti dalla comune esperienza professionale nell'ambito delle consulenze ingegneristiche, tecniche, ambientali, gestionali, legali e di finanza agevolata e pone a fondamento delle attività, quale elemento essenziale della propria esistenza come unità economica organizzata ed a garanzia di un futuro sviluppo, i principi della qualità, come espressi dalle norme ISO 9001, ISO 14001 e OHSAS 18001 nelle loro ultime edizioni.

Antex Group in un'ottica di sviluppo sostenibile proprio e per i propri clienti, è in possesso di un proprio Sistema di Gestione Qualità certificato ISO 9001:2015 per attività di "Servizi tecnico-professionali di ingegneria multidisciplinare".

## 2. SCOPO

Scopo della presente relazione è valutare le emissioni elettromagnetiche e definire le DPA e APA dell'impianto di produzione di energia elettrica da fonte solare da 61,65 MW<sub>p</sub>, denominato **Impianto Agrivoltaico "Sicily MON P1"**, che Sicily MON P1 DEV S.r.l. intende realizzare nei terreni del Comune di Monreale (PA) - Sicilia, al fine di connettere alla Rete elettrica di Trasmissione Nazionale (RTN).

Il presente documento è di proprietà della ANTEX GROUP srl. È vietato la comunicazione a terzi o la riproduzione senza il permesso scritto della suddetta. La società tutela i propri diritti a rigore di Legge.	Comm.: C22-042-S05  
--	--

SICILY MON P1 DEV S.R.L.	IMPIANTO AGRIVOLTAICO SICILY MON P1 <b>RELAZIONE TECNICA CEM IMPIANTO          FOTOVOLTAICO</b>	 Ingegneria & Innovazione	
		17/02/2023	REV: 01

### 3. NORMA DI RIFERIMENTO

Per la redazione della presente relazione, si è fatto riferimento alla seguente normativa:

- D. Lgs. 81/2008 “Attuazione dell’articolo 1 della legge 3 agosto 2007, n. 123, in materia di tutela della salute e della sicurezza nei luoghi di lavoro” e ss. mm. e ii.;
- DIRETTIVA 2013/35/UE del Parlamento Europeo e del Consiglio del 26 giugno 2013 sulle disposizioni minime di sicurezza e di salute relative all’esposizione dei lavoratori ai rischi derivanti dagli agenti fisici (campi elettromagnetici) (ventesima direttiva particolare ai sensi dell’articolo 16, paragrafo 1, della direttiva 89/391/CEE) e che abroga la direttiva 2004/40/CE;
- Decreto legislativo 1° agosto 2016, n. 159 - Attuazione della direttiva 2013/35/UE sulle disposizioni minime di sicurezza e di salute relative all’esposizione dei lavoratori ai rischi derivanti dagli agenti fisici (campi elettromagnetici) e che abroga la direttiva 2004/40/CE;
- Guida non vincolante di buone prassi per l’attuazione della direttiva 2013/35/UE relativa ai campi elettromagnetici - Commissione Europea - Direzione Generale per l’Occupazione, gli Affari Sociali e l’Inclusione - Unità B3;
- Decreto del 29/05/08 “Approvazione delle procedure di misura e valutazione dell’induzione magnetica”;
- DM del 29.5.2008 “Approvazione della metodologia di calcolo delle fasce di rispetto per gli elettrodotti”;
- Decreto del Presidente del Consiglio dei ministri 08/07/2003 “Fissazione dei limiti di esposizione, dei valori di attenzione e degli obiettivi di qualità per la protezione della popolazione dalle esposizioni a campi elettrici e magnetici alla frequenza di rete (50 Hz) generati dagli elettrodotti”, G.U. 28 agosto 2003, n. 200;
- Legge quadro 22/02/2001, n. 36 “Legge quadro sulla protezione dalle esposizioni a campi elettrici, magnetici ed elettromagnetici”, G.U. 7 marzo 2001, n.55;
- Norma CEI 106-11 “Guida per la determinazione delle fasce di rispetto per gli elettrodotti secondo le disposizioni del DPCM 8 luglio 2003 (Art. 6) – Parte 1: Linee elettriche aeree e in cavo”;

Il presente documento è di proprietà della ANTEX GROUP srl. È vietato la comunicazione a terzi o la riproduzione senza il permesso scritto della suddetta. La società tutela i propri diritti a rigore di Legge.	Comm.: C22-042-S05  
--	--

SICILY MON P1 DEV S.R.L.	IMPIANTO AGRIVOLTAICO SICILY MON P1 <b>RELAZIONE TECNICA CEM IMPIANTO          FOTOVOLTAICO</b>	 Ingegneria & Innovazione	
		17/02/2023	REV: 01

Tra le grandezze sopra citate, possono essere misurate direttamente l'induzione magnetica, le intensità di campo elettrico e magnetico.

#### 4. VALUTAZIONE DEL RISCHIO DI ESPOSIZIONE AI CEM E DPA

Un CEM si identifica con la propagazione nello spazio di campi elettrici e magnetici variabili nel tempo. Alcuni campi provocano la stimolazione degli organi sensoriali, dei nervi e dei muscoli, mentre altri causano riscaldamento. È importante notare che tutti questi effetti hanno una soglia al di sotto della quale non vi è alcun rischio e le esposizioni inferiori alla soglia non sono in alcun caso cumulative. Gli effetti causati dall'esposizione sono transitori, essendo limitati alla durata dell'esposizione, e cessano o diminuiscono quando finisce l'esposizione. Ciò significa che non vi sono ulteriori rischi per la salute una volta terminata l'esposizione. Il tipo di effetto che i CEM hanno sulle persone dipende sostanzialmente da:

- frequenza del CEM;
- intensità del CEM.

In funzione della frequenza, le radiazioni generate da un CEM si dividono in:

- Radiazioni Ionizzanti (IR) con frequenze superiori a 300 GHz (raggi UV, raggi gamma e raggi X);
- Radiazioni Non Ionizzanti (NIR) con frequenza fino a 300 GHz (campi elettromagnetici a frequenze estremamente basse, radiofrequenze, microonde, infrarosso, luce visibile).

Nel caso in esame i CEM cui si può essere esposti sono riconducibili a campi a frequenze estremamente basse (Extremely Low Frequency, ELF); infatti, in Italia, linee elettriche, cabine di trasformazione, elettrodomestici funzionano a frequenza industriale costante, pari a 50 Hz. La Guida identifica gli effetti diretti e indiretti accertati che sono provocati dai CEM.

Gli effetti diretti sono i cambiamenti provocati in una persona dall'esposizione a un CEM. La Direttiva prende in considerazione solo gli effetti noti che si basano su meccanismi conosciuti, ma opera una distinzione fra effetti sensoriali ed effetti sulla salute, considerati più gravi. Gli effetti diretti sono i seguenti:

- vertigini e nausea provocati da CEM statici (associati di norma al movimento, ma possibili anche in assenza

SICILY MON P1 DEV S.R.L.	IMPIANTO AGRIVOLTAICO SICILY MON P1 <b>RELAZIONE TECNICA CEM IMPIANTO          FOTOVOLTAICO</b>	 Ingegneria & Innovazione	
		17/02/2023	REV: 01

di movimento);

- effetti su organi sensoriali, nervi e muscoli provocati da campi a bassa frequenza (fino a 100 kHz);
- riscaldamento di tutto il corpo o di parti del corpo causato da campi ad alta frequenza (pari o superiore a 10 MHz); in presenza di valori superiori a qualche GHz il riscaldamento si limita in misura sempre maggiore alla superficie del corpo;
- effetti su nervi e muscoli e riscaldamento causato da frequenze intermedie (100 kHz-10 MHz)

Gli effetti diretti possono, quindi, suddivisi in:

- effetti non termici, come la stimolazione di nervi, muscoli ed organi sensoriali;
- effetti termici, come il riscaldamento dei tessuti.

Con riferimento agli effetti indiretti si ravvisa quanto segue. Possono essere provocati dalla presenza, nel campo elettromagnetico, di oggetti che possono determinare pericoli per la sicurezza o la salute (interferenze con apparecchiature e altri dispositivi medici elettronici, interferenze con apparecchiature o dispositivi medici impiantabili attivi, per esempio stimolatori cardiaci o defibrillatori, ecc.).

Alla luce delle considerazioni effettuate, atteso che la frequenza dei CEM è di 50 Hz, andranno presi in considerazione:

- ✓ effetti diretti non termici;
- ✓ effetti indiretti connessi direttamente con la salute e la sicurezza.

Per la valutazione del rischio di esposizione ai CEM bisogna effettuare una identificazione delle sorgenti. In seguito, è necessario fissare gli obiettivi per la protezione della popolazione all'esposizioni da questi.

#### 4.1. IDENTIFICAZIONE DELLE SORGENTI CEM

La valutazione del rischio di esposizione ai CEM parte da un censimento iniziale di sorgenti:

- Tutte le linee elettriche a servizio del parco fotovoltaico:
  - Elettrodotti MT di interconnessione tra le cabine di sottocampo e la connessione alla cabina di centrale e l'elettrodotto per la successiva connessione al trasformatore AT/MT;

SICILY MON P1 DEV S.R.L.	IMPIANTO AGRIVOLTAICO SICILY MON P1 <b>RELAZIONE TECNICA CEM IMPIANTO          FOTOVOLTAICO</b>	 Ingegneria & Innovazione	
		17/02/2023	REV: 01

- Elettrodotti AT per la interconnessione tra la cabina di centrale e la cabina utente per la consegna e l'elettrodotto per la successiva connessione alla Stazione Elettrica.

- Le cabine elettriche, come le cabine di sottocampo, la cabina centrale e la cabina per la trasformazione AT/MT.

Le rimanenti componenti dell'impianto (sezione BT, apparecchiature del sistema di controllo, etc) sono state giudicate non significative dal punto di vista delle emissioni elettromagnetiche; pertanto, non verranno trattate ai fini della valutazione. Nei successivi paragrafi verrà data una caratterizzazione delle sorgenti appena individuate.

#### 4.2. OBIETTIVI DI PROTEZIONE DELLA POPOLAZIONE DALL'ESPOSIZIONE AI CEM

Ai fini della protezione della popolazione dall'esposizione ai campi elettrici e magnetici alla frequenza di rete (50Hz) generati da linee e cabine elettriche, il DPCM 8 luglio 2003 (artt. 3 e 4) fissa, in conformità alla Legge 36/2001 (art. 4, c. 2):

- i limiti di esposizione del campo elettrico (5 kV/m) e del campo magnetico (100  $\mu$ T) come valori efficaci, per la protezione da possibili effetti a breve termine;
- il valore di attenzione (10  $\mu$ T) e *l'obiettivo di qualità* (3  $\mu$ T) del campo magnetico da intendersi come mediana nelle 24 ore in normali condizioni di esercizio, per la protezione da possibili effetti a lungo termine connessi all'esposizione nelle aree di gioco per l'infanzia, in ambienti abitativi, in ambienti scolastici e nei luoghi adibiti a permanenza non inferiore a 4 ore giornaliere (luoghi tutelati).

Il valore di attenzione si riferisce ai luoghi tutelati esistenti nei pressi di elettrodotti esistenti; l'obiettivo di qualità si riferisce, invece, alla progettazione di nuovi elettrodotti in prossimità di luoghi tutelati esistenti o alla progettazione di nuovi luoghi tutelati nei pressi di elettrodotti esistenti. Il DPCM 8 luglio 2003, all'art. 6, in attuazione della Legge 36/01 (art. 4 c. 1 lettera h), introduce la metodologia di calcolo delle fasce di rispetto, definita nell'allegato al Decreto 29 maggio 2008 (Approvazione della metodologia di calcolo per la determinazione delle fasce di rispetto degli elettrodotti). Detta fascia comprende tutti i punti nei quali, in normali condizioni di esercizio, il valore di induzione magnetica può essere maggiore o uguale all'obiettivo di qualità. "La metodologia di calcolo per la determinazione delle fasce di rispetto degli elettrodotti" prevede una procedura semplificata di valutazione con l'introduzione della Distanza di Prima Approssimazione (DPA). Detta DPA, nel rispetto

SICILY MON P1 DEV S.R.L.	IMPIANTO AGRIVOLTAICO SICILY MON P1 <b>RELAZIONE TECNICA CEM IMPIANTO          FOTOVOLTAICO</b>	 Ingegneria & Innovazione	
		17/02/2023	REV: 01

dell'obiettivo di qualità di 3  $\mu$ T del campo magnetico (art. 4 del DPCM 8 luglio 2003), si applica nel caso di:

- realizzazione di nuovi elettrodotti (inclusi potenziamenti) in prossimità di luoghi tutelati;
- progettazione di nuovi luoghi tutelati in prossimità di elettrodotti esistenti.

In particolare, al fine di agevolare/semplificare:

- l'iter autorizzativo relativo alla costruzione ed esercizio degli elettrodotti (linee e cabine elettriche);
- le attività di gestione territoriale relative a progettazioni di nuovi luoghi tutelati e a richieste di redazione dei piani di gestione territoriale, inoltrate dalle amministrazioni locali.

Le DPA permettono, nella maggior parte delle situazioni, una valutazione esaustiva dell'esposizione ai campi magnetici. Si precisa, inoltre, che secondo quanto previsto dal Decreto 29 maggio 2008 sopra citato (§ 3.2), la tutela in merito alle fasce di rispetto di cui all'art. 6 del DPCM 8 luglio 2003 si applica alle linee elettriche aeree ed interrate, esistenti ed in progetto **ad esclusione di:**

- linee esercite a frequenza diversa da quella di rete di 50 Hz (ad esempio linee di alimentazione dei mezzi di trasporto);
- linee di classe zero ai sensi del DM 21 marzo 1988, n. 449 (come le linee di telecomunicazione);
- linee di prima classe ai sensi del DM 21 marzo 1988, n. 449 (quali le linee di bassa tensione);
- linee di Media Tensione in cavo cordato ad elica (interrate o aeree - Figura 1);

in quanto le relative fasce di rispetto hanno un'ampiezza ridotta, inferiore alle distanze previste dal DM 21 marzo 1988, n. 449 e s.m.i.

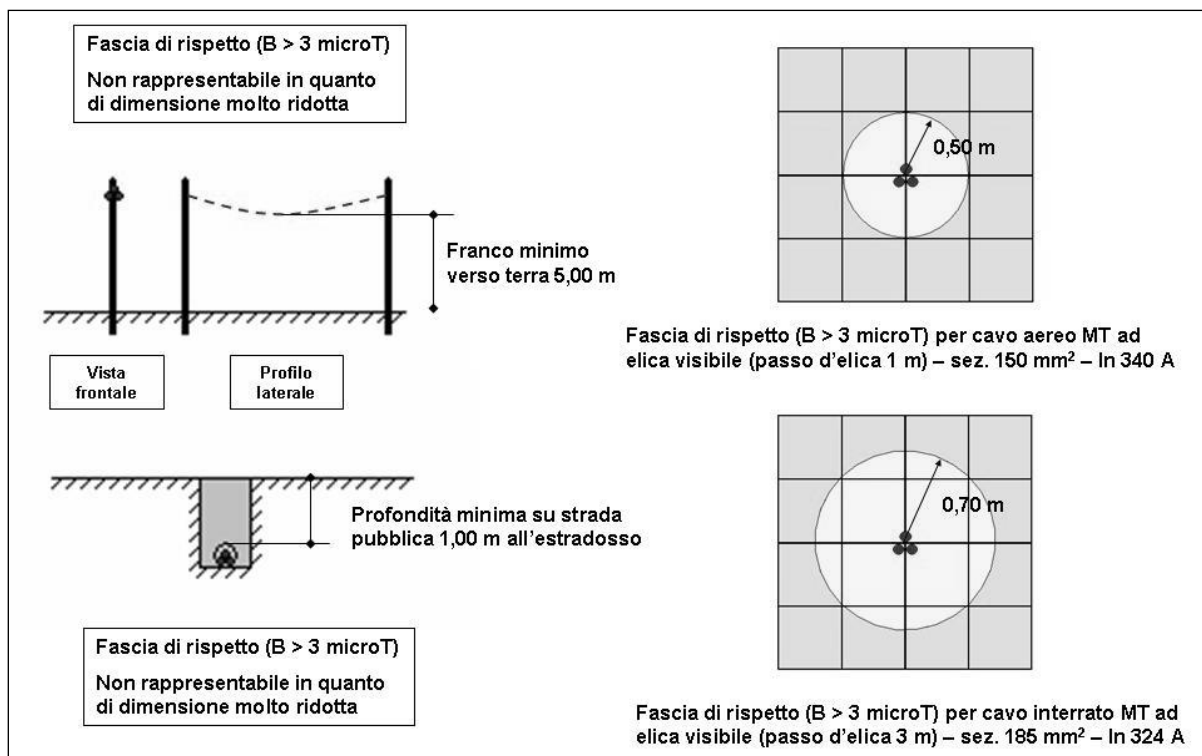


Figura 1 – Curve di livello dell'induzione magnetica generata da cavi cordati ad elica

Si evidenzia infine che le fasce di rispetto (comprese le correlate DPA) non sono applicabili ai luoghi tutelati esistenti in vicinanza di elettrodotti esistenti. In tali casi, l'unico vincolo legale è quello del non superamento del valore di attenzione del campo magnetico ( $10 \mu\text{T}$  da intendersi come mediana dei valori nell'arco delle 24 ore nelle normali condizioni di esercizio); solo ove tale valore risulti superato, si applicheranno le disposizioni dell'art. 9 della Legge 36/2001.

## 5. VALUTAZIONE DEI CEI GENERATI DALLE SORGENTI INDIVIDUATE

### 5.1. CAMPO ELETTROMAGNETICO GENERATO DA LINEE MT E AT INTERRATE

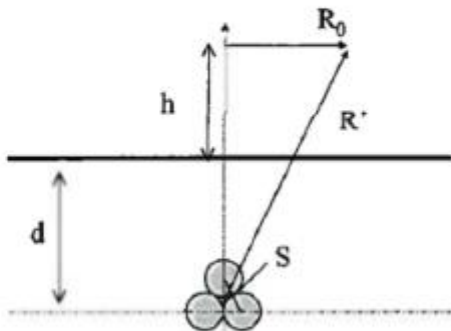
L'intensità del campo elettrico generato da linee interrate è insignificante già al di sopra delle linee stesse grazie all'effetto schermante del rivestimento del cavo e del terreno.

Per quanto riguarda l'intensità del campo magnetico, poiché le linee elettriche interrate MT e AT relative all'impianto fotovoltaico in oggetto, saranno realizzati mediante la posa di cavi unipolari posati a trifoglio; quindi, si valuta l'impatto elettromagnetico generato dai cavidotti interrati MT adottando la metodologia di calcolo

illustrata nella Norma CEI 106-11, che si riporta di seguito:

**b) Cavi unipolari posati a trifoglio**

Lo schema di posa in questo caso è illustrato nella Figura 12. Si può quindi ricorrere alle relazioni approssimate viste per e linee aeree con conduttori a triangolo

$$B = 0,1 \cdot \sqrt{6} \cdot \frac{S \cdot I}{R^2} \text{ [}\mu\text{T]} \quad R' = 0,286 \cdot \sqrt{S} \cdot I \text{ [m]} \quad (20)$$


**Figura 12 – Schema di principio per il calcolo delle distanze da terne di cavi interrati con posa a trifoglio oltre le quali l'induzione magnetica è inferiore all'obiettivo di qualità (d è la profondità del centro del conduttore)**

I valori di DPA dipendono solo dalla geometria dei conduttori e dai valori di corrente che le attraversano.

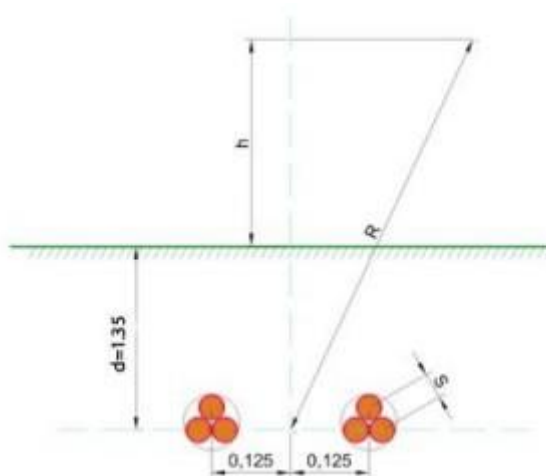
Invece, per tener conto della presenza di due o più terne nella stessa sezione di scavo si è fatto ricorso ad un modello matematico che tenesse conto del campo magnetico generato da ogni singola terna. Il modello costituito, secondo quanto previsto e suggerito dalla norma CEI 211-4 cap. 4.3., tiene conto delle componenti spaziali dell'induzione magnetica, calcolate come somma del contributo delle correnti nei diversi conduttori. È possibile a questo punto effettuare una semplificazione del modello, che consideri il contributo non del singolo conduttore ma dell'intera terna, della quale sono note le caratteristiche geometriche. Si terrà conto nel seguito per il modello del sistema di cavi unipolari posati a trifoglio: in questo modo viene introdotto un grado di protezione maggiore nel sistema. Come infatti suggerito dalla norma CEI 106-11 al cap. 6.2.3, per i cavi unipolari posati a trifoglio è possibile ricorrere ad una espressione approssimata del campo magnetico, come di seguito riportato.

$$B = \frac{\mu_0}{2\pi} * \frac{S * I}{R^2}$$

dove B [ $\mu$ T] è l'induzione magnetica in un generico punto distante R [m] dal conduttore centrale, S [m] è la distanza fra i conduttori adiacenti, percorsi da correnti simmetriche ed equilibrate di ampiezza pari a I [A].

Considerata la natura vettoriale del campo magnetico, è possibile sommare i contributi dovuti alle singole terne e calcolare, attraverso il modello semplificato di cui prima, il valore del campo magnetico nello spazio circostante l'elettrodotto. Considerata, per esempio la disposizione spaziale delle due terne, e fissando l'asse centrale del sistema come riportato in figura, si può calcolare il campo magnetico generato dall'elettrodotto attraverso la seguente formula:

$$B = \frac{\mu_0}{2\pi} * \frac{S_1 * I_1}{(x - x_1)^2 + (y - d)^2} + \frac{\mu_0}{2\pi} * \frac{S_2 * I_2}{(x - x_2)^2 + (y - d)^2}$$



dove B [ $\mu$ T] è l'induzione magnetica in un generico punto distante R [m] dal centro del sistema (baricentro delle due terne di cavi), Si [m] è la distanza fra i conduttori adiacenti della terna i-esima, percorsi da correnti simmetriche ed equilibrate di ampiezza pari a Ii [A] (specifica della terna i-esima), x la distanza dall'asse y e viceversa.

### 5.1.1. CEM GENERATO DA TRINCEE CON UN CIRCUITO (1C)

Il progetto prevede linee MT e AT a 1 circuito (1C) a singola terna di conduttori unipolari (con posa di tipo interrata a trifoglio) che collegano le cabine di sottocampo alla cabina centrale, la cabina centrale alla cabina utente per la consegna e quest'ultima alla stazione elettrica. Di seguito vengono riportati i calcoli effettuati:

RETE AD ANELLO - N°1 (LINEA P-Q, CON VP=VQ)				
TRATTA	In [A]	Sez. cavo [mm <sup>2</sup> ]	S [m]	R [m]
CCE-L1>>PS1	136,12	240	0,041	0,68
PS1>>CCE-L1	138,93	240	0,041	0,68
RETE AD ANELLO - N°2 (LINEA P-Q, CON VP=VQ)				
TRATTA	In [A]	Sez. cavo [mm <sup>2</sup> ]	S [mm]	R [m]

SICILY MON P1 DEV S.R.L.	IMPIANTO AGRIVOLTAICO SICILY MON P1 <b>RELAZIONE TECNICA CEM IMPIANTO          FOTOVOLTAICO</b>	 Ingegneria & Innovazione		
		17/02/2023	REV: 01	Pag.12

CCE-L2>>PS5	157,85	240	0,041	0,73
PS5>>CCE-L2	150,07	240	0,041	0,71
<b>RETE AD ANELLO - N°3 (LINEA P-Q, CON VP=VQ)</b>				
TRATTA	In [A]	Sez. cavo [mm <sup>2</sup> ]	S [m]	R [m]
CCE-L3>>PS6	152,26	240	0,041	0,71
PS6>>CCE-L3	149,25	240	0,041	0,71
<b>RETE AD ANELLO - N°4 (LINEA P-Q, CON VP=VQ)</b>				
TRATTA	In [A]	Sez. cavo [mm <sup>2</sup> ]	S [m]	R [m]
CCE-L4>>PS9	166,67	240	0,041	0,75
PS9>>CCE-L4	102,76	240	0,041	0,59

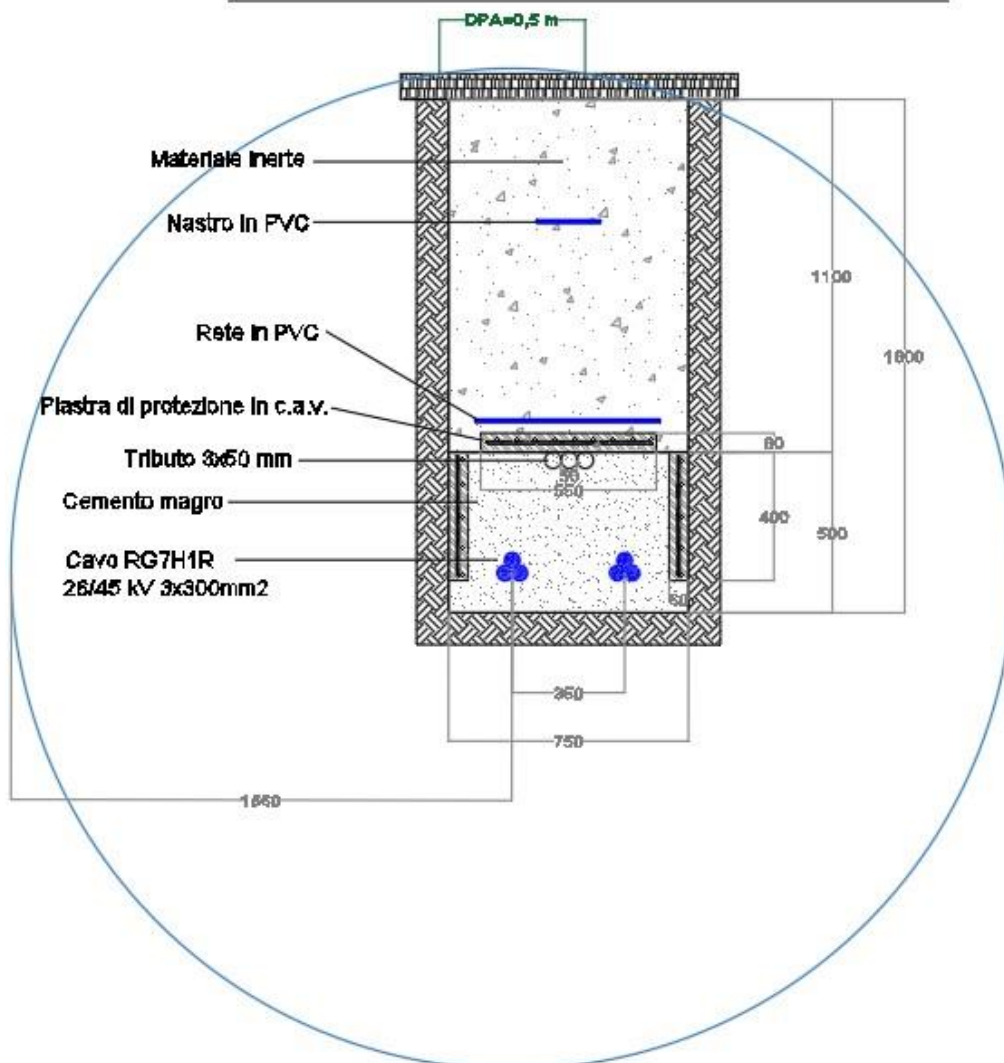
Poiché la profondità di posa delle linee MT è pari a 1,1 m, il valore di induzione magnetica emesso da queste terne sono minori di 3  $\mu$ T già al livello del suolo.

Lo stesso calcolo viene effettuato sulle linee AT.

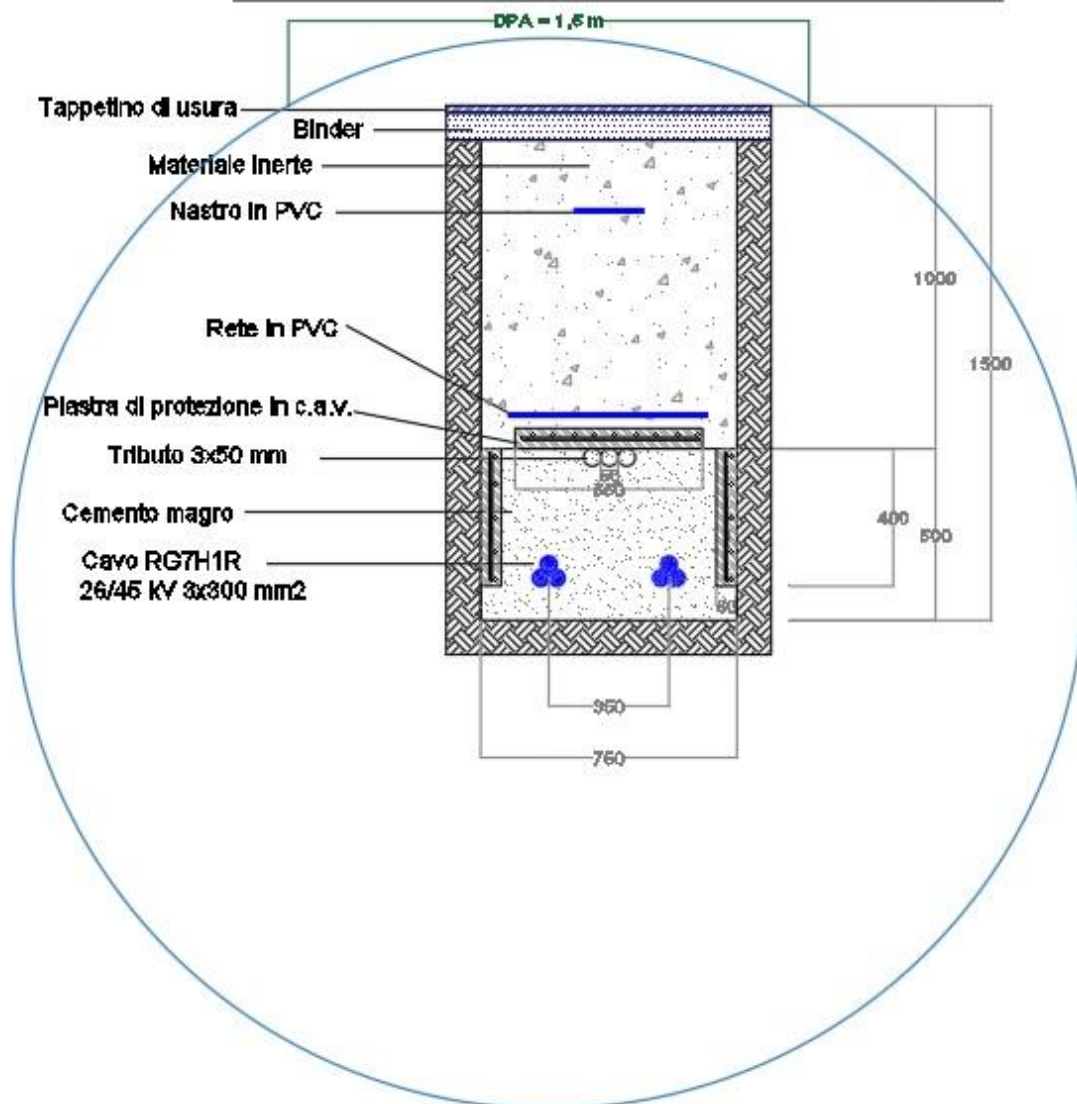
<b>Linee AT</b>				
TRATTA	In [A]	Sez. cavo [mm <sup>2</sup> ]	S [m]	R [m]
CC>>SE	531,71	630	0,056	1,56
CC>>SE	531,71	630	0,056	1,56

In questo caso la fascia di rispetto cambia a seconda se la posa avviene su terreno agricolo o su sede stradale, in quanto cambia la profondità di posa.

Di seguito vengono riportare le rappresentazioni delle rispettive fasce.

TIPICO CAVIDOTTO A.T. INTERRATI  
POSA INTERRATA IN PIANO IN TERRENO AGRICOLA

TIPICO CAVIDOTTO A.T. INTERRATI  
POSA INTERRATA IN PIANO SU SEDE STRADALE

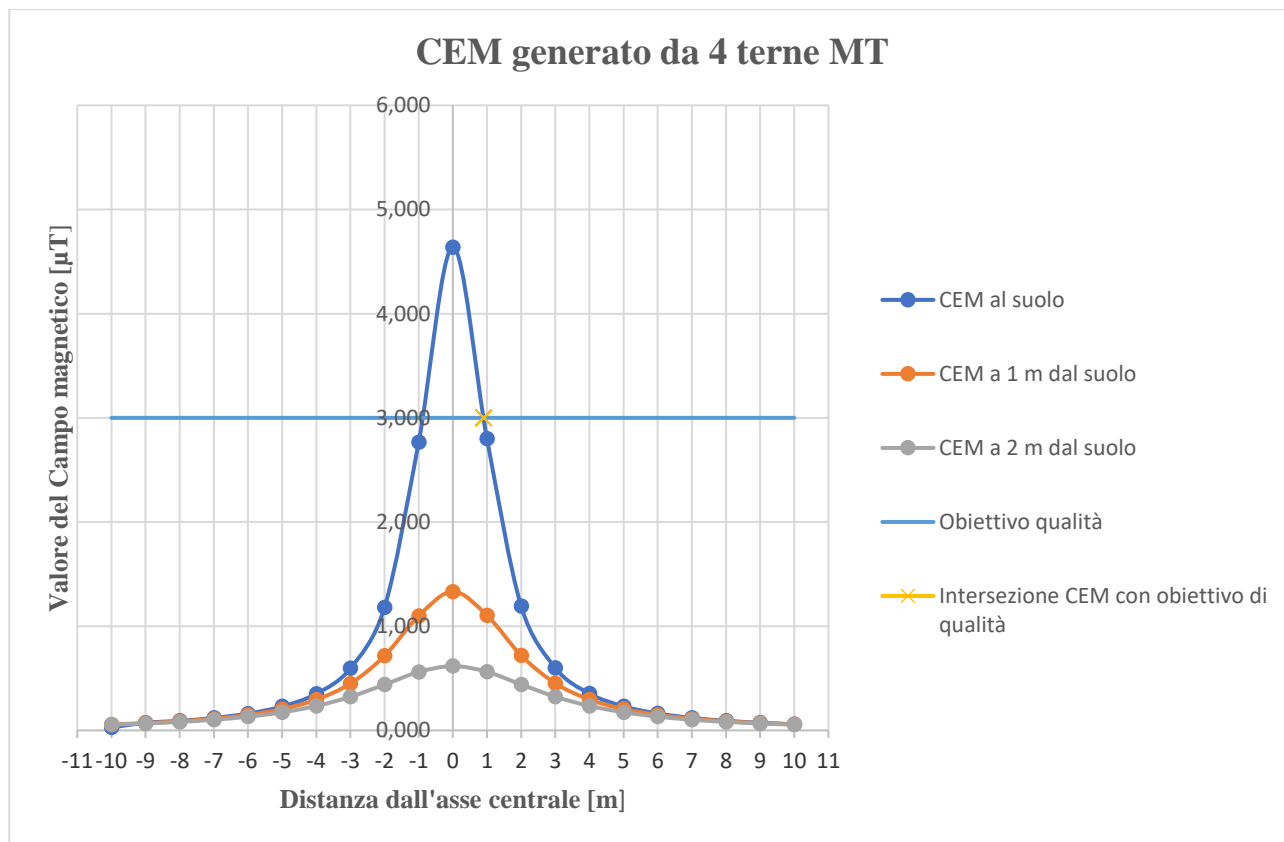


### 5.1.2. CEM GENERATO DA TRINCEE CON PIU' DI UN CIRCUITO

Nel paragrafo seguente verranno analizzati alcuni dei casi di terne compresenti nello stesso scavo. In particolare, si analizza il caso delle linee di connessione dell'anello 1, che collega la PS1, PS2 e PS3 alla CC. In questo caso si avrà una compresenza di quattro terne nello stesso scavo, il quale corrisponde al Particolare A dell'elaborato "C22042S05-PD-EE-13-01 – Layout Impianto Fotovoltaico". Dunque, viene effettuato il modello di calcolo per il CEM generato da più terne presenti nella stessa trincea. Di seguito vengono riportati i risultati del campo magnetico ottenuti lungo l'asse x ed in funzione della distanza dal suolo.

Distanza dall'asse centrale [m]	Campo magnetico calcolato al suolo [ $\mu$ T]	Campo magnetico calcolato ad 1 m dal suolo [ $\mu$ T]	Campo magnetico calcolato ad 2 m dal suolo [ $\mu$ T]
-10	0,059	0,057	0,055
-9	0,073	0,070	0,066
-8	0,092	0,088	0,081
-7	0,120	0,112	0,102
-6	0,162	0,149	0,131
-5	0,230	0,204	0,173
-4	0,351	0,295	0,234
-3	0,596	0,450	0,322
-2	1,181	0,716	0,439
-1	2,767	1,099	0,561
0	4,639	1,332	0,617
1	2,799	1,104	0,562
2	1,193	0,720	0,441
3	0,601	0,452	0,324
4	0,353	0,297	0,235
5	0,231	0,205	0,174
6	0,162	0,149	0,132
7	0,120	0,113	0,103
8	0,092	0,088	0,082
9	0,073	0,070	0,066
10	0,059	0,058	0,055

Il grafico che segue mostra la distribuzione di tali valori in funzione della distanza dall'asse centrale. Le varie curve mostrano il valore dell'intensità del campo al variare del parametro y (da 0 m a 2 m da terra), ossia la distribuzione del campo su piani fuori terra paralleli al suolo.

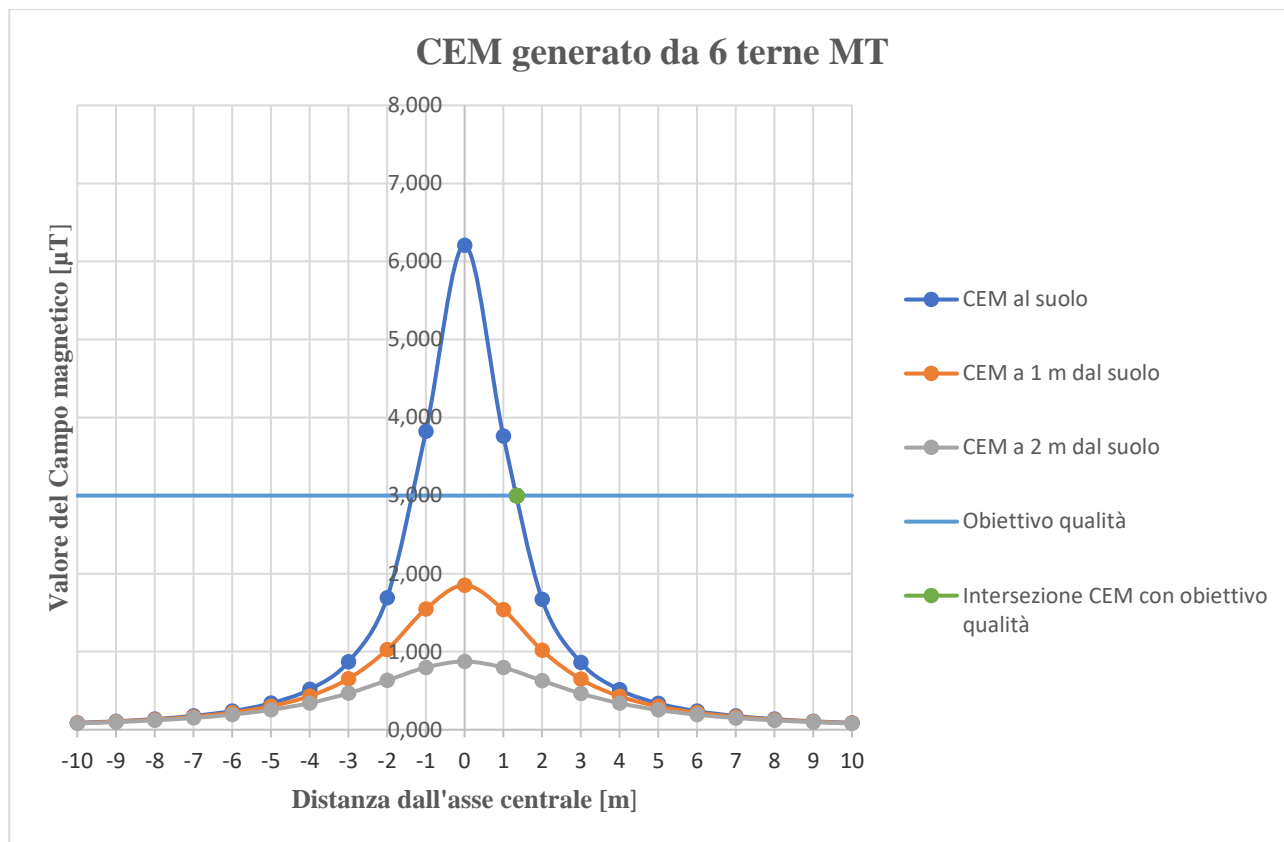


Ricordando che l'obiettivo da rispettare per il caso in esame è l'obiettivo di qualità, pari a 3  $\mu\text{T}$ , si rileva che il caso oggetto di studio produce un campo magnetico massimo, in corrispondenza all'asse centrale al piano di calpestio, pari a 4,64  $\mu\text{T}$ , superiore all'obiettivo di qualità fissato dalla norma. Risulta quindi necessario individuare una fascia di rispetto, definita, secondo la normativa citata, come la distanza sul piano orizzontale (ad altezza  $y=0\text{m}$ ) dalla proiezione verticale della sorgente alla quale il campo elettromagnetico risulta essere inferiore all'obiettivo di qualità pari a 3  $\mu\text{T}$ . Utilizzando tali valori per il calcolo, la DPA risulta essere pari a circa 0,9 m, alla quale il campo residuo risulta essere pari a circa 3  $\mu\text{T}$ . Pertanto, relativamente alla tratta costituita da sei elettrodotti scavo di sezione 240 mm<sup>2</sup>, posizionati nello stesso scavo su piani differenti, viene individuata una fascia di rispetto complessiva di **2 m**, centrata sull'asse (DPA approssimato al mezzo metro superiore, quindi pari a 1 m), al di fuori della quale è garantito il rispetto dell'obiettivo di qualità richiesto.

Lo stesso vale per le linee 1, 2, 3 per una tratta delle suddette linee. Quindi, in questo caso, corrispondente al Particolare B dell'elaborato sopraccitato, si avrà la compresenza di sei terne posizionate nello stesso scavo, su due

piani diversi. Di seguito vengono riportati i risultati del campo magnetico ottenuti lungo l'asse x ed in funzione della distanza dal suolo.

Distanza dall'asse centrale [m]	Campo magnetico calcolato al suolo [ $\mu$ T]	Campo magnetico calcolato ad 1 m dal suolo [ $\mu$ T]	Campo magnetico calcolato ad 2 m dal suolo [ $\mu$ T]
-10	0,088	0,085	0,081
-9	0,108	0,104	0,098
-8	0,136	0,130	0,120
-7	0,177	0,166	0,151
-6	0,239	0,219	0,193
-5	0,339	0,300	0,254
-4	0,517	0,431	0,342
-3	0,869	0,652	0,467
-2	1,692	1,024	0,631
<b>-1</b>	<b>3,823</b>	1,547	0,798
<b>0</b>	<b>6,207</b>	1,852	0,874
<b>1</b>	<b>3,763</b>	1,537	0,796
2	1,670	1,016	0,628
3	0,861	0,647	0,464
4	0,513	0,429	0,340
5	0,337	0,299	0,253
6	0,238	0,218	0,193
7	0,176	0,165	0,150
8	0,136	0,129	0,120
9	0,108	0,104	0,097
10	0,088	0,085	0,081



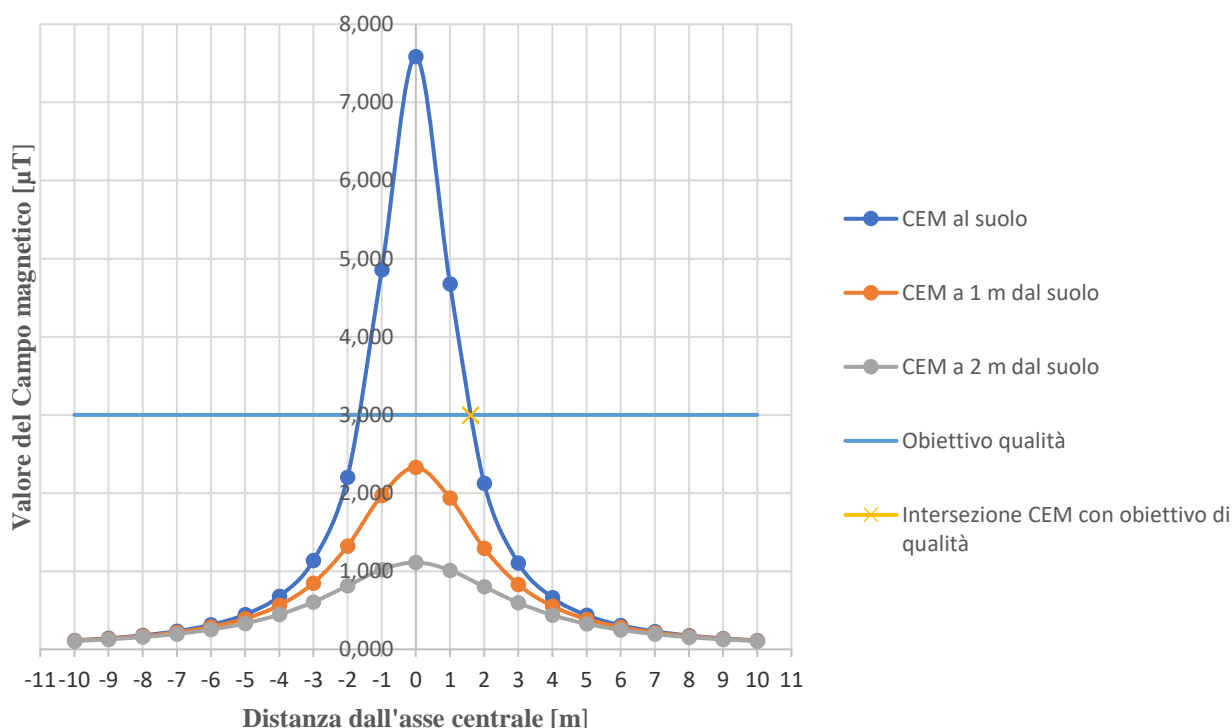
Utilizzando i valori ottenuti, la DPA risulta essere pari a circa 1,35 m, alla quale il campo residuo risulta essere pari a circa 3 µT. Pertanto, relativamente alla tratta costituita da sei elettrodotti scavo di sezione 240 mm<sup>2</sup>, posizionati nello stesso scavo su piani differenti, viene individuata una fascia di rispetto complessiva di **3 m**, centrata sull'asse (DPA approssimato al mezzo metro superiore, quindi pari a 1,5 m), al di fuori della quale è garantito il rispetto dell'obiettivo di qualità richiesto.

Nel Particolare C si ha compresenza delle linee 1, 2, 3 e 4 sullo stesso scavo, su piani diversi, per un totale di otto terne. Di seguito vengono riportati i risultati del campo magnetico ottenuti lungo l'asse x ed in funzione della distanza dal suolo.

Distanza dall'asse centrale [m]	Campo magnetico calcolato al suolo [µT]	Campo magnetico calcolato ad 1 m dal suolo [µT]	Campo magnetico calcolato ad 2 m dal suolo [µT]
-10	0,115	0,111	0,106
-9	0,142	0,136	0,128
-8	0,179	0,170	0,157
-7	0,232	0,217	0,197

-6	0,313	0,287	0,252
-5	0,445	0,393	0,331
-4	0,678	0,563	0,445
-3	1,140	0,848	0,605
-2	2,205	1,322	0,813
-1	4,857	1,969	1,021
0	7,586	2,330	1,112
1	4,680	1,937	1,012
2	2,126	1,292	0,802
3	1,106	0,829	0,595
4	0,661	0,552	0,438
5	0,436	0,386	0,326
6	0,308	0,282	0,249
7	0,229	0,214	0,194
8	0,176	0,168	0,155
9	0,140	0,134	0,126
10	0,114	0,110	0,105

## CEM generato da 8 terne MT

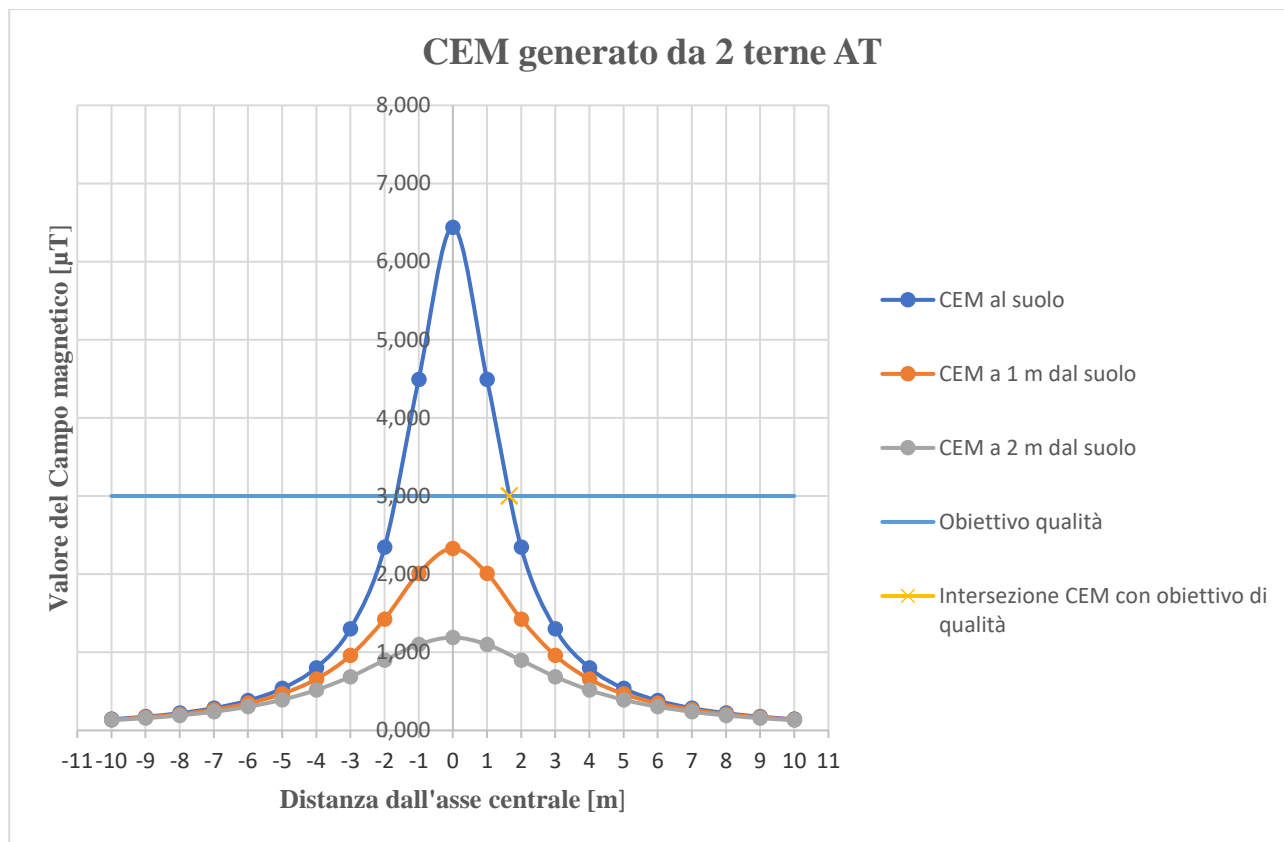


Utilizzando i valori ottenuti, la DPA risulta essere pari a circa 1,6 m, alla quale il campo residuo risulta essere pari a circa 3 µT. Pertanto, relativamente alla tratta costituita da sei elettrodotti scavo di sezione 240 mm<sup>2</sup>, posizionati nello stesso scavo su piani differenti, viene individuata una fascia di rispetto complessiva di **4 m**, centrata sull'asse

(DPA approssimato al mezzo metro superiore, quindi pari a 2 m), al di fuori della quale è garantito il rispetto dell'obiettivo di qualità richiesto.

In fine, si analizza il caso delle linee AT che vanno dalla CC alla SE, che fa riferimento al Particolare D. Di seguito vengono riportati i risultati del campo magnetico ottenuti lungo l'asse x ed in funzione della distanza dal suolo.

Distanza dall'asse centrale [m]	Campo magnetico calcolato al suolo [ $\mu$ T]	Campo magnetico calcolato ad 1 m dal suolo [ $\mu$ T]	Campo magnetico calcolato ad 2 m dal suolo [ $\mu$ T]
-10	0,143	0,137	0,130
-9	0,175	0,167	0,156
-8	0,220	0,208	0,191
-7	0,285	0,264	0,238
-6	0,382	0,346	0,303
-5	0,536	0,467	0,392
-4	0,801	0,656	0,517
-3	1,301	0,958	0,687
-2	2,343	1,424	0,898
-1	4,493	2,010	1,100
0	6,438	2,328	1,189
1	4,493	2,010	1,100
2	2,343	1,424	0,898
3	1,301	0,958	0,687
4	0,801	0,656	0,517
5	0,536	0,467	0,392
6	0,382	0,346	0,303
7	0,285	0,264	0,238
8	0,220	0,208	0,191
9	0,175	0,167	0,156
10	0,143	0,137	0,130



Utilizzando i valori ottenuti, la DPA risulta essere pari a circa 1,65 m, alla quale il campo residuo risulta essere pari a circa 3  $\mu\text{T}$ . Pertanto, relativamente alla tratta costituita da sei elettrodotti scavo di sezione 240 mm<sup>2</sup>, posizionati nello stesso scavo su piani differenti, viene individuata una fascia di rispetto complessiva di **4 m**, centrata sull'asse (DPA approssimato al mezzo metro superiore, quindi pari a 2 m), al di fuori della quale è garantito il rispetto dell'obiettivo di qualità richiesto.

## 5.2. CAMPO ELETTROMAGNETICO GENERATO DA POWER STATION

Relativamente alle Power Station, assimilabili a cabine secondarie di trasformazione, sono state individuate le distanze di prima approssimazione secondo quanto indicato dalle linee guida ENEL già citate, ed in particolare all'allegato B10 della guida e alle formule di calcolo contenute nel par. 5.2.1 dell'allegato al DM 29/05/2008 "Approvazione della metodologia di calcolo per la determinazione delle fasce di rispetto per gli elettrodotti". In particolare, la DPA è intesa come la distanza da ciascuna delle pareti della cabina secondaria, calcolata simulando una linea trifase, con cavi paralleli, percorsa dalla corrente nominale BT in uscita dal trasformatore (I) e con

SICILY MON P1 DEV S.R.L.	IMPIANTO AGRIVOLTAICO SICILY MON P1 <b>RELAZIONE TECNICA CEM IMPIANTO          FOTOVOLTAICO</b>		
		17/02/2023	REV: 01

distanza tra le fasi pari al diametro reale de cavo (x), ossia conduttore più isolante. La relazione da applicare è la seguente:

$$DPA = 0,40942 * x^{0,5241} * \sqrt{I}$$

Considerando il trasformatore di taglia massima in progetto, pari a 7200 kVA, il valore di I da prendere in considerazione è pari a 5479,2 A alla tensione di 690 V (tensione in uscita dall'inverter). Supponendo per i cavi in uscita dal trasformatore la sezione 300 mm<sup>2</sup>, con più conduttori in parallelo, tipologia cavi ARG16R16, 0.6/1 kV, il valore del diametro esterno x risulta essere pari a 27,9 mm. Utilizzando tali valori per il calcolo, la DPA risulta essere pari a circa 4,64 m. Pertanto, relativamente alle Power Station, viene individuata intorno ad esse una fascia di rispetto pari a **5 m** (arrotondata al mezzo metro superiore) al di fuori della quale è garantito il rispetto dell'obiettivo di qualità richiesto.

Considerando invece il trasformatore di taglia massima in progetto, pari a 6300 kVA, il valore di I da prendere in considerazione è pari a 5512,8 A alla tensione di 600 V (tensione in uscita dall'inverter). Supponendo per i cavi in uscita dal trasformatore la sezione 300 mm<sup>2</sup>, con più conduttori in parallelo, tipologia cavi ARG16R16, 0.6/1 kV, il valore del diametro esterno x risulta essere pari a 27,9 mm. Utilizzando tali valori per il calcolo, la DPA risulta essere pari a circa 4,66 m. Pertanto, relativamente alle Power Station, viene individuata intorno ad esse una fascia di rispetto pari a **5 m** (arrotondata al mezzo metro superiore) al di fuori della quale è garantito il rispetto dell'obiettivo di qualità richiesto.

Si tenga conto che l'ubicazione delle Power Station è in aree interne al parco fotovoltaico, distanti dai confini dello stesso; pertanto, è già esclusa a monte l'interferenza con obiettivi sensibili, come individuato dalla normativa.

### 5.3. CAMPO ELETTROMAGNETICO GENERATO DAL TRASFORMATORE AT/MT

Relativamente al trasformatore AT/MT il calcolo della DPA si è considerato assimilabile a quello per le Power Station. In particolare, la DPA è intesa come la distanza da ciascuna delle pareti della cabina secondaria, calcolata simulando una linea trifase, con cavi paralleli, percorsa dalla corrente nominale MT in uscita dal trasformatore (I) e con distanza tra le fasi pari al diametro reale de cavo (x), ossia conduttore più isolante. La relazione da applicare è analoga a quella utilizzata nel caso delle PS.

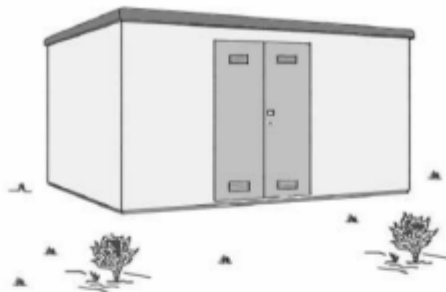
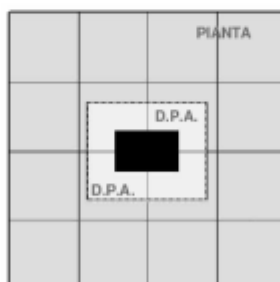
SICILY MON P1 DEV S.R.L.	IMPIANTO AGRIVOLTAICO SICILY MON P1 <b>RELAZIONE TECNICA CEM IMPIANTO          FOTOVOLTAICO</b>		
		17/02/2023	REV: 01

Considerando che il trasformatore ha una taglia massima in progetto, pari a 50000 KVA ed il valore di I da prendere in considerazione è pari a 1062,34 A alla tensione di 30000 V (tensione in uscita dalla cabina centrale). Avendo per i cavi in uscita dal trasformatore una sezione di 240 mm<sup>2</sup>, con più conduttori in parallelo, tipologia cavi ARE4H5EX 18/30 kV, il valore del diametro esterno  $x$  risulta essere pari a 41 mm. Utilizzando tali valori per il calcolo, la DPA risulta essere pari a circa 2,5 m. Pertanto, relativamente alla cabina di trasformazione AT/MT, viene individuata intorno ad esse una fascia di rispetto pari a **3 m** (arrotondata al mezzo metro superiore) al di fuori della quale è garantito il rispetto dell'obiettivo di qualità richiesto.

Si tenga conto che l'ubicazione della cabina di trasformazione AT/MT è in aree interne al parco fotovoltaico, distanti dai confini dello stesso; pertanto, è già esclusa a monte l'interferenza con obiettivi sensibili, come individuato dalla normativa.

#### **5.4. CAMPO ELETTROMAGNETICO GENERATO DA CABINE ELETTRICHE**

Così come indicato nel documento "Linea Guida per l'applicazione del § 5.1.3 dell'Allegato al DM 29.05.08. Distanza di prima approssimazione (DPA) da linee e cabine elettriche [Enel Distribuzione S.p.A. – Divisione Infrastrutture e Reti – QSA/IUN]", può essere presa in considerazione una DPA per le cabine elettriche a seconda della potenza del trasformatore installata al suo interno, come rappresentato in figura.

**B10 – CABINA SECONDARIA TIPO BOX O SIMILARI, ALIMENTATA IN CAVO SOTTERRANEO –  
TENSIONE 15 KV O 20 KV**

**RAPPRESENTAZIONE DELLA FASCIA DI RISPETTO E DELLA D.P.A.**

 <math> < 3 \mu T </math>

 > 3  $\mu T$ 

DIAMETRO DEI CAVI (m)	TIPOLOGIA TRASFORMATORE (KVA)	CORRENTE (A)	DPA (m) filo parete esterna	RIF.TO
Da 0,020 a 0,027	250	361	1,5	B10a
	400	578	1,5	B10b
	630	909	2,0	B10c

## 6. CONCLUSIONI

Nella presente relazione è stato condotto uno studio analitico volto a valutare l'impatto elettromagnetico delle opere da realizzare, e, sulla base delle risultanze, individuare eventuali fasce di rispetto da apporre al fine di garantire il raggiungimento degli obiettivi di qualità per la protezione della popolazione dalle esposizioni ai campi elettrici e magnetici, secondo il vigente quadro normativo. Una volta individuate le possibili sorgenti dei campi elettromagnetici, per ciascuna di esse è stata condotta una valutazione di tipo analitico, volta a determinare la

SICILY MON P1 DEV S.R.L.	IMPIANTO AGRIVOLTAICO SICILY MON P1 <b>RELAZIONE TECNICA CEM IMPIANTO          FOTOVOLTAICO</b>	 Ingegneria & Innovazione	
		17/02/2023	REV: 01

consistenza dei campi generati dalle sorgenti e l'eventuale distanza di prima approssimazione (DPA). Di seguito i principali risultati:

- Elettrodotti: Sono state individuate differenti casistiche, in funzione del numero di terne parallele posate all'interno della stessa sezione di scavo, della profondità di posa e della tensione di esercizio, e per ciascuna di esse è stata determinata la DPA corrispondente. Relativamente alle tratte di elettrodotto interne al parco fotovoltaico, l'entità delle DPA è tale da ricadere all'interno del parco stesso, senza interferenze con luoghi da tutelare. Per quanto riguarda gli elettrodotti esterni al parco, si rileva che l'entità dei campi generati è inferiore gli obiettivi di qualità nella maggior parte delle tratte, senza necessità di apporre alcuna fascia di rispetto. Nei casi in cui è stato individuato un valore di DPA sarà necessario apporre la dovuta fascia di rispetto.
- Power Station e Trasformatore AT/MT: campi elettromagnetici legati alla presenza delle Power Station e al trasformatore AT/MT, per le quali sono state determinate le relative DPA. L'entità delle DPA è tale da ricadere all'interno dell'area di parco FV, senza interferenze con luoghi da tutelare.

A conclusione del presente studio, è possibile affermare che per tutte le sorgenti di campi elettromagnetici individuate, le emissioni risultano essere al di sotto dei limiti imposti dalla vigente normativa

Il presente documento è di proprietà della ANTEX GROUP srl. È vietato la comunicazione a terzi o la riproduzione senza il permesso scritto della suddetta. La società tutela i propri diritti a rigore di Legge.	Comm.: C22-042-S05  
--	--